

УДК 539.3:539.377

ТЕПЛОПРОВОДНОСТЬ И ТЕРМОУПРУГОСТЬ ОБОЛОЧЕК
С ТЕПЛОПРОНИЦАЕМЫМ РАЗРЕЗОМ

ГОЛЬЦЕВ А. С., ШЕВЧЕНКО В. П.

Задачи теплопроводности и термоупругости для пластин, содержащих теплоизолированные, теплопроницаемые и теплопроводящие разрезы, изучены в [1]. Аналогичные задачи в теории оболочек рассматривались лишь для теплоизолированных разрезов [2]¹. При этом в задачах термоупругости не учитывался теплообмен с внешней средой и использовались уравнения теплопроводности для пластин [2].

В публикуемой работе при помощи теории обобщенных функций и двумерного преобразования Фурье разработан метод решения задач теплопроводности и термоупругости для изотропных оболочек произвольной гауссовой кривизны, содержащих произвольно ориентированный теплопроницаемый разрез. Предполагается линейное распределение температуры по толщине оболочки и учитывается теплообмен с внешней средой согласно закону Ньютона. Исследовано влияние теплопроницаемости разреза на величину возмущенного температурного поля и на коэффициенты интенсивности усилий и моментов. Полученные результаты сопоставлены с известными данными для оболочек с теплоизолированным разрезом.

1. Рассмотрим тонкую изотропную оболочку постоянной толщины $2h$, ослабленную произвольно ориентированным теплопроницаемым разрезом L (фиг. 1). Оболочка отнесена к ортогональной системе криволинейных координат x_i ($i=1, 2, 3$), направленных, соответственно, по линиям главных кривизн срединной поверхности и по нормали к ней.

Компоненты термоупругого состояния оболочки с разрезом $H(x_1, x_2)$ представим в виде суммы двух слагаемых $H(x_1, x_2) = H^o(x_1, x_2) + H^*(x_1, x_2)$, где $H^o(x_1, x_2)$ и $H^*(x_1, x_2)$ — компоненты возмущенного термоупругого состояния, вызванного наличием разреза, и термоупругого состояния в сплошной оболочке. Для нахождения функций $H^*(x_1, x_2)$ используем уравнения состояний с большим показателем изменяемости [2, 3], которые совпадают с уравнениями теории пологих оболочек.

Задачу теплопроводности решаем в предположении линейного распределения температуры $T(x_1, x_2, x_3)$ по толщине оболочки

$$T(x_1, x_2, x_3) = T_1(x_1, x_2) + (x_3/h) T_2(x_1, x_2)$$
$$T_1 = \frac{1}{2h} \int_{-h}^h T dx_3, \quad T_2 = \frac{3}{2h^2} \int_{-h}^h x_3 T dx_3$$

При этом интегральные характеристики температуры T_1, T_2 удовлетворяют следующим уравнениям [4]:

$$h^2 \Delta T_1 - \mu_1 T_1 - \mu_2 * T_2 = -(\mu_1 t_1 + \mu_2 t_2) \quad (1.1)$$
$$h^2 \Delta T_2 - 3(1 + \mu_1) T_2 - 3\mu_2 * T_1 = -3(\mu_1 t_2 + \mu_2 t_1)$$
$$\Delta = \partial^2 / \partial x_1^2 + \partial^2 / \partial x_2^2, \quad \mu_{1,2} = 1/2(Bi^+ \pm Bi^-)$$
$$\mu_2 * = \mu_2 - 1/2h(k_1 + k_2), \quad t_{1,2} = 1/2(t_c^+ \pm t_c^-)$$

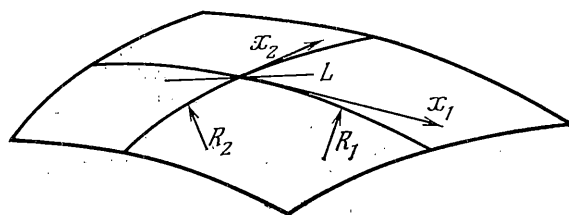
¹ См. также: Осадчук В. А. Задача теплопроводности для оболочек с разрезами. Минск, 1980.—13 с. Деп. в ВИНИТИ 07.12.79; № 209-80.

где Bi^+ , Bi^- , t_c^+ , t_c^- — критерий Био и температура среды на поверхностях $x_3 = \pm h$, $k_1 = 1/R_1$, $k_2 = 1/R_2$ — главные кривизны. Уравнения (1.1) учитывают теплообмен оболочки с окружающей средой, который совершается по закону Ньютона.

Границные условия для задачи теплопроводности получим исходя из расчетной модели теплового контакта берегов разреза, которая принята в [1]. Записывая общие условия сопряжения через тонкий промежуточный слой [5] с учетом принятых предположений и переходя к интегральным величинам T_1 и T_2 , граничные условия для теплопроницаемого разреза представим в виде

$$\lambda_0 (\partial T_i(s)/\partial n)^\pm - \lambda_n (T_i^+(s) - T_i^-(s)) = 0 \quad (s \in L) \quad (i=1, 2) \quad (1.2)$$

Здесь λ_0 — коэффициент теплопроводности материала оболочки, λ_n — коэффициент теплопроницаемости, характеризующий теплопроводность



Фиг. 1

разреза в поперечном направлении [1], s — координата точки срединной поверхности, принадлежащая L , n — внешняя нормаль к линии разреза; знаками плюс и минус обозначены предельные значения функций справа и слева от L .

Для полного решения задачи термоупругости кроме уравнений теплопроводности (1.1) следует использовать уравнения равновесия пологих оболочек, соотношения упругости и соотношения, связывающие деформации и перемещения [4]. При этом граничные условия на линии разреза запишем следующим образом:

$$N_n^\pm(s) = S_{nt}^\pm(s) = M_n^\pm(s) = Q_n^\pm(s) = 0 \quad (s \in L) \quad (1.3)$$

где N_n , S_{nt} — нормальное и касательное усилия, M_n , Q_n — изгибающий момент и обобщенная перерезывающая сила. Условия (1.3) имеют место в случае отсутствия контакта между берегами разреза.

2. Рассматриваемые задачи сведем к системам сингулярных интегральных уравнений. Для этого применим двумерное преобразование Фурье к уравнениям теплопроводности и термоупругости пологих оболочек, используя теорию обобщенных функций. В частности, производные будем определять из соотношений [6]:

$$\partial H / \partial x_j = \{\partial H / \partial x_j\}^k + n_j \delta_l [H] \quad (j=1, 2)$$

а трансформанты Фурье производных — по формуле

$$F\left\{ \frac{\partial H}{\partial x_j} \right\} = (-i\xi_j) F\{H\} + \frac{1}{2\pi} \int_L n_j [H] \exp(i\xi_p x_p') dL \quad (j, p=1, 2)$$

где $\{\partial H / \partial x_j\}^k$ — классическая производная функции H , $[H] = H^+ - H^-$ — скачок функции H при переходе через линию L , n_j — направляющие коэффициенты нормали к линии разреза, δ_l — дельта-функция, сосредоточенная на линии разреза, ξ_j — переменные в пространстве трансформант, x_p' — координаты точки на линии L .

Трансформанты интегральных характеристик температуры, их производных и внутренних силовых величин P_k имеют следующий вид:

$$F\{T_m\} = F\{T_m^\circ\} + \int_L A_{mn}^* [T_n] \exp(i\xi_p x_p) dL \quad (m, n, p=1, 2) \quad (2.4)$$

$$\begin{aligned} F\left\{\frac{\partial T_m}{\partial x_j}\right\} = & F\left\{\frac{\partial T_m^\circ}{\partial x_j}\right\} + \int_L \left\{ E_j^* \frac{\partial [T_m]}{\partial s} + \right. \\ & \left. + B_{mjn}^* [T_n] \right\} \exp(i\xi_p x_p) dL \quad (m, j, n, p=1, 2) \end{aligned} \quad (2.2)$$

$$\begin{aligned} F\{P_h\} = & F\{P_h^\circ\} + \int_L \left\{ D_{h1}^* [u_1] + D_{h2}^* [u_2] + \right. \\ & + D_{h3}^* [u_3] + D_{h4}^* \left[\frac{\partial u_3}{\partial x_1} \right] + D_{h5}^* \left[\frac{\partial u_3}{\partial x_2} \right] + D_{h6}^* [T_1] + \\ & \left. + D_{h7}^* [T_2] + W_{hl}^* [P_l] \right\} \exp(i\xi_p x_p) dL \quad (p=1, 2; k, l=1, 2, \dots, 8) \end{aligned} \quad (2.3)$$

Здесь A_{mn}^* , E_j^* , B_{mjn}^* , D_{hr}^* , W_{hl}^* — трансформанты ядер, причем функции D_{hr}^* ($r=1, 2, \dots, 5$) имеют такой же вид, как и в случае силовой задачи [7], u_i ($i=1, 2, 3$) — перемещения вдоль координатных осей. Интегральные члены в (2.1) — (2.3) определяют компоненты возмущенного термоупругого состояния оболочки с разрезом.

Вводя новые неизвестные функции

$$\begin{aligned} \psi_1 = & [T_1], \quad \psi_2 = [T_2], \quad \psi_3 = \frac{\partial [u_1]}{\partial s} + k_1 n_2 [u_3] \\ \psi_4 = & \frac{\partial [u_2]}{\partial s} - k_2 n_1 [u_3], \quad \psi_5 = \frac{\partial}{\partial s} \left[\frac{\partial u_3}{\partial x_1} \right], \\ \psi_6 = & \frac{\partial}{\partial s} \left[\frac{\partial u_3}{\partial x_2} \right] \end{aligned}$$

выражения (2.3) запишем в виде (G_{hj}^* — трансформанты ядер)

$$\begin{aligned} F\{P_h\} = & F\{P_h^\circ\} + \int_L \left\{ G_{hj}^* \psi_j + \right. \\ & \left. + W_{hl}^* [P_l] \right\} \exp(i\xi_p x_p) dL \quad (p=1, 2; j=1, 2, \dots, 6; l, k=1, 2, \dots, 8) \end{aligned} \quad (2.4)$$

Применяя к соотношениям (2.1), (2.2), (2.4) формулу обращения для двумерного преобразования Фурье и используя методику обращения, изложенную в [7], найдем интегральные представления компонент термоупругого состояния. Системы разрешающих интегральных уравнений получим используя найденные представления и граничные условия (1.2), (1.3).

Рассмотрим решение задачи теплопроводности. С учетом интегральных представлений для производных T_1 , T_2 и граничных условий (1.2) придем к системе двух сингулярных интегродифференциальных уравнений относительно неизвестных функций ψ_1 и ψ_2 :

$$\begin{aligned} \beta_0 \psi_k(s_0) + \int_{s_1}^{s_2} \left\{ \frac{\psi_k'(s)}{s-s_0} + B_{kj}^\circ (s- \right. \\ \left. - s_0) \psi_j(s) \right\} ds = Z_k(s_0) \quad (s_0 \in L) \quad (k, j=1, 2) \end{aligned} \quad (2.5)$$

Здесь $\beta_0 = \lambda_n / \lambda_0$, B_{kj}° — ядра системы, Z_k — производные от T_k° по нормали к линии разреза, s_1 и s_2 — координаты концов разреза. Решение системы (2.5) следует находить с учетом непрерывности температуры на концах разреза

$$[T_m] |_{s=s_1} = [T_m] |_{s=s_2} = 0 \quad (m=1, 2) \quad (2.6)$$

Для решения задачи термоупругости используем граничные условия (1.3) и интегральные представления для внутренних силовых факторов. Разрешающая система четырех сингулярных интегральных уравнений относительно неизвестных функций $\psi_3, \psi_4, \psi_5, \psi_6$ имеет вид

$$\begin{aligned} & \int_{s_1}^{s_2} G_{kj}^{\circ}(s-s_0) \psi_j(s) ds = P_k^{\circ}(s_0) + \\ & + \int_{s_1}^{s_2} R_{km}^{\circ}(s'-s_0) \psi_m(s') ds' \quad (s_0 \in L) \quad (m=1, 2; k=1, 2, \dots, 4; j=3, 4, \dots, 6) \end{aligned} \quad (2.7)$$

где G_{kj}° — ядра системы, R_{km}° — известные функции. Система (2.7) имеет единственное решение при выполнении условий непрерывности перемещений и углов поворота на концах разреза

$$\begin{aligned} [u_i] |_{s=s_1} &= [u_i] |_{s=s_2} = 0 \quad (i=1, 2, 3) \\ [\partial u_s / \partial x_j] |_{s=s_1} &= [\partial u_s / \partial x_j] |_{s=s_2} = 0 \quad (j=1, 2) \end{aligned} \quad (2.8)$$

Системы (2.5), (2.7) с учетом дополнительных условий (2.6), (2.8) решаются численно методом механических квадратур [8]. С помощью полученных решений определяются компоненты возмущенного термоупругого состояния в любой точке оболочки, а также коэффициенты интенсивности усилий и моментов.

3. Рассмотрим некоторые частные примеры. Пусть оболочка ослаблена разрезом длиной $2l$, расположенным на оси x_1 таким образом, что его середина находится в начале координат.

Вводя новые неизвестные функции $\Psi_j = \partial \psi_j / \partial x$, задачу теплопроводности сведем к решению системы двух сингулярных интегральных уравнений

$$\begin{aligned} \beta \psi_k(x_0) + \int_{-1}^1 K_{kj}(x-x_0) \Psi_j(x) dx &= Z_k(x_0) \\ \beta = \beta_0 l \quad (|x_0| < 1) \quad (k, j=1, 2) \end{aligned} \quad (3.1)$$

при дополнительных условиях, которые следуют из (2.6):

$$\int_{-1}^1 \Psi_j(x) dx = 0 \quad (j=1, 2) \quad (3.2)$$

Ядра системы (3.1) представим следующим образом:

$$K_{kj}(x-x_0) = -\frac{\delta_{kj}}{2\pi(x-x_0)} + \frac{\tau_0}{2\pi} \sum_{m=1}^2 X_{kj}^{(m)} Y(\tau e_m |x-x_0|)$$

$$X_{11}^{(m)} = (-1)^m \frac{\mu_1 e_m^2 - 3\mu_0}{2e_0 e_m}, \quad X_{12}^{(m)} = (-1)^m \frac{\mu_2^* e_m}{2e_0}$$

$$X_{21}^{(m)} = 3X_{12}^{(m)}, \quad X_{22}^{(m)} = (-1)^m \frac{3(1+\mu_1)e_m^2 - 3\mu_0}{2e_0 e_m}$$

$$\begin{aligned} \tau_0 &= \tau \operatorname{sign}(x - x_0), \quad \tau = l/h \\ \mu_0 &= \mu_1 + \mu_1^2 - (\mu_2^*)^2, \quad e_0 = e_1^2 - e_2^2 \\ e_{1,2} &= \frac{1}{\sqrt{2}} (3 + 4\mu_1 \pm \sqrt{(3+2\mu_1)^2 + 12(\mu_2^*)^2})^{1/2}, \quad Y(y) = \int_0^y G_{1,0}(z) dz \end{aligned}$$

где δ_{kj} — символ Кронекера. Явное выражение специальной функции $G_{n,m}(z)$ приведено в [7].

Система (3.1) с учетом условий (3.2) решается численно в классе функций, неограниченных на концах отрезка $[-1, 1]$ [1, 8].

Если кривизны оболочки положить равными нулю, то получим задачу теплопроводности для пластинки с теплопроницаемым разрезом. Результаты расчетов в случае пластиинки с термоизолированными поверхностями, а также при наличии теплообмена совпали с решениями, полученными в [1].

Численные исследования, проведенные для оболочек произвольной гауссовой кривизны, показали, что при отсутствии градиента температурного момента скачок $[T_1]$ слабо зависит от соотношения кривизн k_1/k_2 . Максимальное значение возмущенного температурного поля достигается в случае теплоизолированного разреза ($\beta=0$).

С целью сравнения проведены расчеты для цилиндрической оболочки с продольным разрезом при равных коэффициентах теплообмена на боковых поверхностях ($B_i^+=B_i^-=\mu_1$). Построены графики зависимости отношения $\sigma = -1/2[T_1]/(\partial T_1/\partial x_2)$ в середине разреза от величины теплообмена при $l/h=5$ (фиг. 2). Кривые 1—4 соответствуют следующим значениям параметра теплопроницаемости²: $\beta = 0$ (теплоизолированный разрез); $\beta=0,25$; $\beta=0,7$; $\beta=2$.

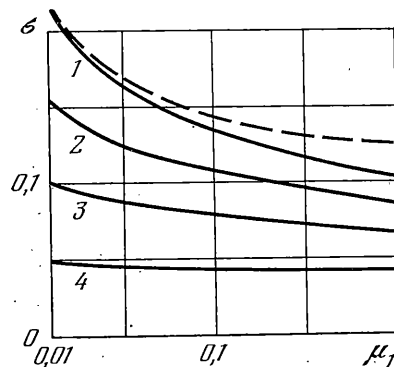
Из графиков следует, что учет теплопроницаемости разреза оказывает значительное влияние на величину скачка $[T_1]$ и, следовательно, на значение возмущенного температурного поля.

Перейдем к решению задачи термоупругости. Рассмотрим оболочку, температура которой изменяется по линейному закону вдоль координаты x_2 . При отсутствии силовой нагрузки термоупругое состояние оболочки с разрезом полностью определяется возмущенным температурным полем. Задача термоупругости сводится к случаю антисимметричного нагружения, что исключает контакт берегов разреза. В этом случае приходим к системе двух сингулярных интегральных уравнений относительно неизвестных функций $\Phi_1=\psi_0$ и $\Phi_2=\psi_5$ (v — коэффициент Пуассона):

$$\int_{-1}^1 J_{kj}(x-x_0) \Phi_j(x) dx = U_k(x_0) \quad (|x_0| < 1) \quad (k, j=1, 2) \quad (3.3)$$

$$J_{kj}(x-x_0) = \frac{\delta_{kj}}{2\pi} \frac{c_k}{x-x_0} + \frac{2\varphi_{kj}}{\pi^2} (x-x_0) \times$$

² Штриховой линией показано изменение σ для теплоизолированного разреза, полученное в работе, цитированной на стр. 153.



Фиг. 2

$$\begin{aligned}
& \times \sum_{n=1}^{\infty} \sum_{m=0}^{\infty} \frac{f_{nm}^{(kj)}}{m!} \{ (1-\delta_{kj}) \operatorname{Re} G_{n,n+m-1}(\gamma|x-x_0|) + \delta_{kj} \operatorname{Im} G_{n,n+m-1}(\gamma|x-x_0|) \} \\
& f_{nm}^{(kj)} = \int_0^{\frac{\pi}{2}} v_{kj} q_1^{n-1} q^m \sin^2 \theta \cos(2n-1) \theta d\theta \\
& v_{11} = q_1 \cos \theta, \quad v_{12} = d_1^2 \cos \theta \\
& v_{21} = \frac{\operatorname{sign}(t^2)}{\cos \theta} q_1 d_2^2, \quad v_{22} = \frac{\operatorname{sign}(t^2)}{\cos \theta} d_1^2 d_2^2 \\
& q_1 = |t^2|, \quad q_2 = 1 - |t^2|, \quad t^2 = \cos^2 \theta + \lambda \sin^2 \theta \\
& d_1^2 = (2 - \lambda - v) \cos^2 \theta + (1 - \lambda v) \sin^2 \theta \\
& d_2^2 = (2 - v) \cos^2 \theta + \sin^2 \theta, \quad \gamma = \sqrt{i} \tau \kappa \\
& c_1 = 1/\tau, \quad c_2 = -(3+v)/[3(1+v)\tau^3] \\
& \varphi_{11} = -k_2 l v_0, \quad \varphi_{12} = -\varphi_{21} = k_2 h, \quad \varphi_{22} = -k_2 h / (\tau v_0) \\
& \lambda = k_1/k_2, \quad \kappa = \sqrt{k_2 h v_0}, \quad v_0 = \sqrt{3(1-v^2)}
\end{aligned}$$

Функции Φ_j удовлетворяют дополнительным условиям, которые следуют из (2.8):

$$\begin{aligned}
& \int_{-1}^1 \left\{ \Phi_1(x) - \frac{k_1}{2} x^2 \Phi_2(x) \right\} dx = 0 \\
& \int_{-1}^1 \Phi_2(x) dx = 0, \quad \int_{-1}^1 x \Phi_2(x) dx = 0
\end{aligned} \tag{3.4}$$

Правые части системы (3.3) зависят от скачков интегральных характеристик температуры и находятся по формуле

$$U_k(x_0) = \delta_{2k} C_0 + \int_{-1}^1 R_{kp}(x' - x_0) [T_p(x')] dx' \quad (k, p = 1, 2)$$

где C_0 — константа, определяемая из дополнительных условий (3.4). Функции $R_{kp}(x' - x_0)$ запишем следующим образом:

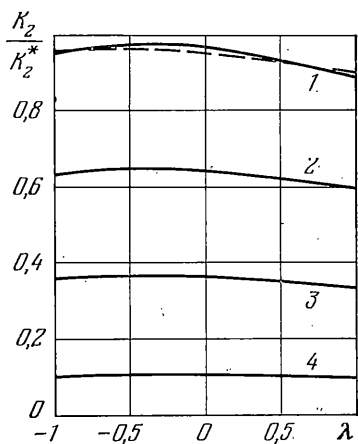
$$\begin{aligned}
R_{1p}(x' - x_0) &= \delta_{1p} V_0^{(1)}(x' - x_0) + \frac{1}{\pi^2} \sum_{j=1}^3 C_{pj}^{(1)} V_{pj}^{(1)}(x' - x_0) \\
R_{2p}(x' - x_0) &= \delta_{2p} V_0^{(2)}(x' - x_0) + \frac{1}{\pi^2} \sum_{j=1}^6 C_{pj}^{(2)} V_{pj}^{(2)}(x' - x_0) \\
V_0^{(k)}(x' - x_0) &= \frac{\omega_k}{x' - x_0} \sum_{i=1}^2 (-1)^{i+1} e_i^2 G_{1,i}(\tau e_i |x' - x_0|) + \\
V_{pj}^{(k)}(x' - x_0) &= (x' - x_0) \sum_{n=1}^{\infty} \left\{ \sum_{i=1}^2 f_{nmpjh}^{(i)} G_{n,n-1}(\tau e_i |x' - x_0|) + \right. \\
& \left. + \sum_{m=0}^{\infty} \frac{1}{m!} (f_{nmpjh}^{(1)} \operatorname{Re} G_{n,n+m-1}(\gamma|x' - x_0|) - f_{nmpjh}^{(2)} \operatorname{Im} G_{n,n+m-1}(\gamma|x' - x_0|)) \right\}
\end{aligned}$$

$$f_{npjk}^{(i)} = a_{pjk}^{(i)} \int_0^{\frac{\pi}{2}} \frac{g_{pjk}^{(i)}(\theta)}{e_i^4 + \chi^4 t^4} \cos(2n-1)\theta d\theta$$

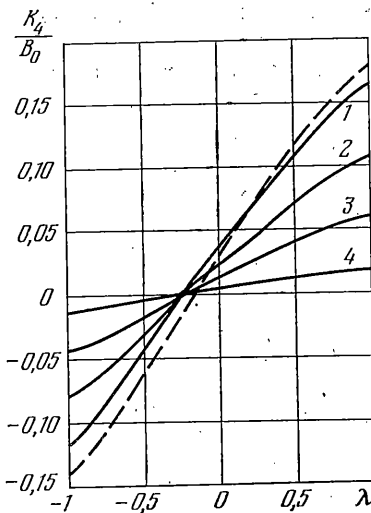
$$f_{nmpjk}^{(i)} = b_{pjk}^{(i)} \int_0^{\frac{\pi}{2}} \frac{r_{nmpjk}^{(i)}(\theta)}{(e_1^4 + \chi^4 t^4)(e_2^4 + \chi^4 t^4)} \cos(2n-1)\theta d\theta$$

$$\omega_1 = \alpha / (\pi e_0), \quad \omega_2 = \alpha / (3\pi e_0 t^2)$$

Здесь α — коэффициент линейного теплового расширения, $[C_{pj}^{(i)}, a_{pj}^{(i)}, b_{pj}^{(i)}$ — константы, зависящие от механических и теплофизических свойств материала, геометрических параметров оболочки и разреза, характеристик теплообмена, $g_{pj}^{(i)}(\theta)$ — функции переменной θ и параметра λ .



Фиг. 3



Фиг. 4

$r_{nmpjk}^{(i)}(\theta)$ — функции переменной θ , зависящие от характеристик теплообмена, материала и геометрии оболочки. Например

$$C_{23}^{(1)} = -2\pi\alpha(1+\nu)\mu_1 k_2 h, \quad a_{131}^{(1)} = -e_1^4/e_0$$

$$b_{242}^{(1)} = \chi^4(e_1^2 + e_2^2), \quad g_{162}^{(1)}(\theta) = t^2 \cos \theta \sin^2 \theta$$

$$r_{nm242}^{(2)}(\theta) = (\chi^4 t^4 - e_1^2 e_2^2) q_1^{n+2} q_2^m \cos \theta \sin^2 \theta$$

Система (3.3) с учетом условий (3.4) решается численно в классе функций, неограниченных на концах отрезка $[-1, 1]$. После определения функций Φ_j коэффициенты интенсивности усилий и моментов находим по формулам (E — модуль Юнга):

$$K_2 = -\frac{Eh}{2} \sqrt{l} \lim_{x \rightarrow 1} \sqrt{1-x^2} \Phi_1(x), \quad K_4 = \frac{(3+\nu)Eh^3}{6(1+\nu)l} \sqrt{l} \lim_{x \rightarrow 1} \sqrt{1-x^2} \Phi_2(x)$$

Описанная выше методика применима также для решения задач термоупругости пластин с теплопроницаемым разрезом. Расчеты, проведенные для пластин с термоизолированными поверхностями и при учете теплообмена, хорошо согласуются с имеющимися [1].

Численные исследования проведены для оболочек с термоизолированными поверхностями ($Bi^+ = Bi^- = 2 \cdot 10^{-4}$) при действии градиента $q_0 = -\partial T_1 / \partial x_2$. Исследовано влияние теплопроницаемости разреза на величину коэффициентов интенсивности усилий и моментов для оболочек произвольной гауссовой кривизны. Результаты этого исследования представлены на фиг. 3, 4, где K_2^* — коэффициент интенсивности усилий в пластине с теплоизолированным разрезом, $B_0 = 2q_0\alpha l^3 Eh^2/v_0$. Вычисления проводились для значений параметров: $k_2 h = 0,01$, $v = 1/3$, $\tau \kappa = 1$, $\alpha = 12 \cdot 10^{-6} \text{ 1/град.}$

Кривые 1—4 соответствуют следующим значениям теплопроницаемости разреза: $\beta = 0$ (теплоизолированный разрез); $\beta = 0,3$; $\beta = 4$; $\beta = 5$. Штриховыми линиями показаны зависимости, взятые в первом приближении для теплоизолированного разреза [2].

Из графиков следует, что влияние геометрии оболочки на величину коэффициентов интенсивности усилий и моментов ослабевает с ростом параметра теплопроницаемости β . Максимальное значение коэффициентов интенсивности достигается в случае теплоизолированного разреза.

Численные расчеты показали, что параметр теплопроницаемости β не влияет на величину отношения $K_2(\beta, \lambda) / K_{2p}^*(\beta) = f(\lambda)$, где K_{2p}^* — коэффициент интенсивности усилий в пластине с теплопроницаемым разрезом.

ЛИТЕРАТУРА

1. Кит Г. С., Кривцун М. Г. Плоские задачи термоупругости для тел с трещинами. Киев: Наук. думка, 1983. 277 с.
2. Панасюк В. В., Саврук М. П., Дацьшин А. П. Распределение напряжений около трещин в пластинах и оболочках. Киев: Наук. думка, 1976. 443 с.
3. Саврук М. П. Двумерные задачи упругости для тел с трещинами. Киев: Наук. думка, 1981. 323 с.
4. Подстригач Я. С., Швец Р. Н. Термоупругость тонких оболочек. Киев: Наук. думка, 1978. 343 с.
5. Підстригач Я. С. Умови теплового контакту твердих тіл. — Доп. УРСР, 1963, № 7, с. 872—874.
6. Владимиров В. С. Обобщенные функции в математической физике. М.: Наука, 1976. 280 с.
7. Хижняк В. К., Шевченко В. П. Смешанные задачи теории пластин и оболочек. Донецк: Изд-е Донецк. ун-та, 1980. 127 с.
8. Каландия А. И. Математические методы двумерной упругости. М.: Наука, 1973. 303 с.

Донецк

Поступила в редакцию
14.VIII.1984